

(3) Pokud není pro kategorie únavové pevnosti v tabulkách 8.8 a 8.9 stanoveno jinak, má se při kombinaci rozkmitů na napětí  $\Delta \sigma_{E,2}$  a  $\Delta \tau_{E,2}$  provéřit splnění podmínky:

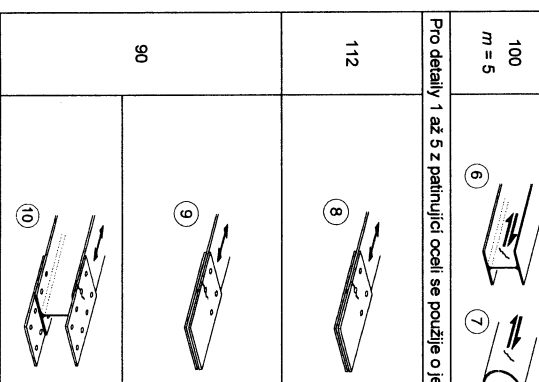
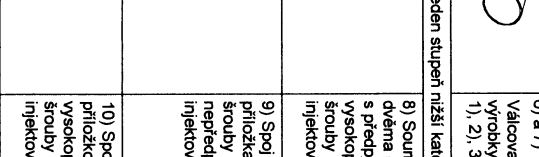
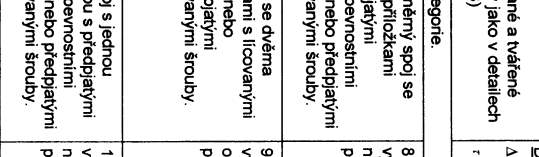
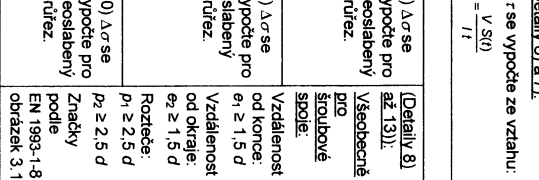
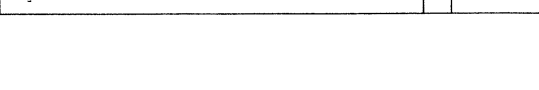
$$\left( \frac{\gamma_F}{\Delta \sigma_C / \gamma_M} \right)^3 + \left( \frac{\gamma_F}{\Delta \tau_C / \gamma_M} \right)^5 \leq 1,0 \quad (8.3)$$

(4) Pokud nejsou data pro  $\Delta \sigma_{E,2}$  nebo  $\Delta \tau_{E,2}$  dostupná, může se použít postup ověření podle přílohy A.

POZNÁMKA 1 Příloha A je zpracována pro rozkmity napětí v podélém směru. Tato metodika může být upravena pro rozkmity smykových napětí.

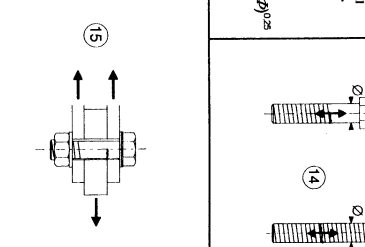
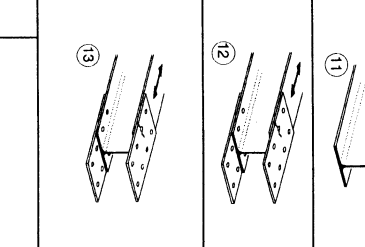
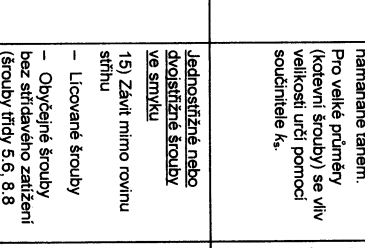
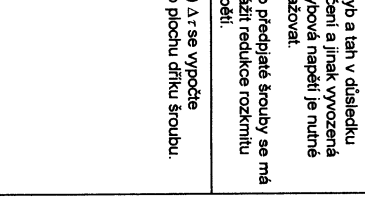
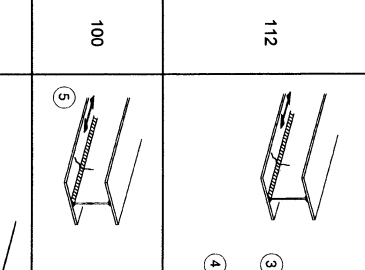
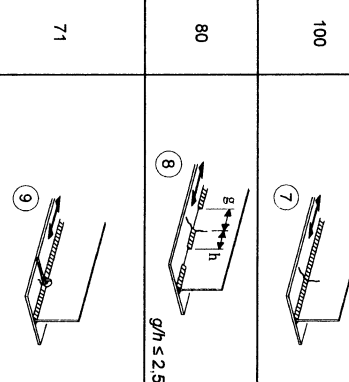
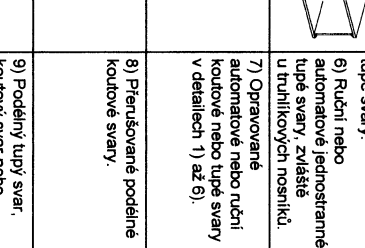
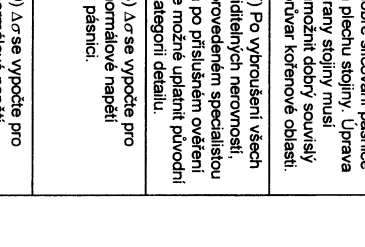
POZNÁMKA 2 V národní příloze mohou být uvedeny informace pro použití přílohy A. NP<sup>(1)</sup>

Tabulka 8.1 – Ploché prvky a nesvařované detaily

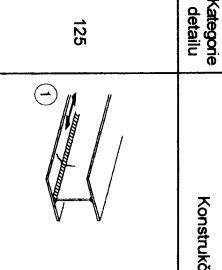
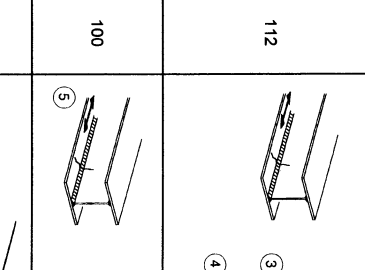
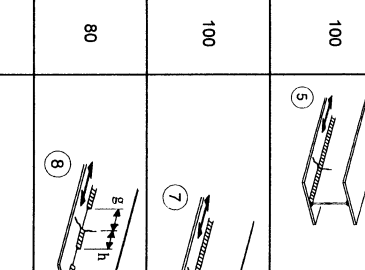
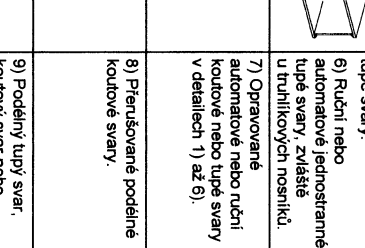
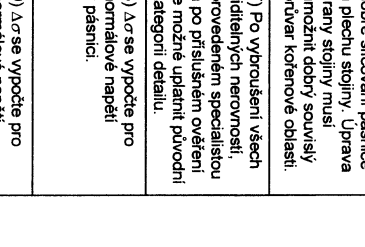
Kategorie detailů	Konstrukční detail	Popis	Požadavky
POZNÁMKA Kružka únavové pevnosti pro kategorii 160 je nejvyšší. Žádny detail nemůže mít lepší únavovou pevnost při libovolném počtu cyklů.	Válcované a tvářené výrobky.	Detalí 1 až 3:	Ostré hrany, povrchově a válcovací chyby se odstraňují broušením do dosažení hladkého přechodu.
160		1) Přechy a široká ocel; 2) Válcované průřezy; 3) Bezpečné duté pravohlídle nebo kruhové průřezy.	
140		Stříhané nebo kysilíkem řezané plochy.	4) Všechny viditelné nerovnosti mazny se odstraní. Řezané plochy a všechny otvory se opracují až do obrousí a výslednou úpravou.
125		5) Materiál se strojně kysilíkem řezanými hrany s mekkými a pravidelnými stopami po řezání nebo ručně kysilíkem řezaný materiál s následnou úpravou všech nepravidelností na plátených hranačích. Kvalita strojního řezání kysilíkem podle EN 1090.	Všechny rýhy po opracování – např. po broušení – mohou být pouze ve směru namáhání. Detailí 4 a 5: Vystupující hrany se upraví broušením (sklon s %) nebo uvází pomocí vhodného soudružitelské koncentrace napětí. Opravy pomocí vypínání svarem nejsou připustné.
100 $m = 5$		6) a 7) Válcované a tvářené výrobky jako v detailech 1), 2), 3)	Detailí 6 a 7: $\Delta \tau \text{ se vypočte ze vztahu: } \tau = \frac{V \cdot S_G}{I_t}$
90		Pro detaily 1 až 5 z patřícníci ocelí se použije o jeden stupeň nižší kategorie.	
112		8) Souměrný spoj se dvěma příložkami s předplňatými vysokopevnostními šrouby nebo předplňatými injektovanými šrouby.	8) $\Delta \sigma \text{ se vypočte pro neoslabený průřez.}$ (Detailí 8) až (13): Všeobecně pro střubové spoje: Vzdálenost od konce: $\epsilon_1 \geq 1,5 d$ oslabený průřez. Vzdálenost od okraje: $\epsilon_2 \geq 1,5 d$ Rozteč: $p_1 \geq 2,5 d$ $p_2 \geq 2,5 d$ vypočte pro neoslabený Značky podle EN 1993-1-8, obrázek 3.1

(pokračování)

Tabulka 8.1 (dokončení)

Kategorie detailu	Konstrukční detail	Popis	Požadavky
90		11) Nasný prvek s dírami pro šrouby při namáhání ohybem a osovými silami	11) $\Delta\sigma$ se vypočte pro oslabený průřez. Vzdálenost od hrany: $e_1 \geq 1,5 d$ Vzdálenost od hrany: $e_2 \geq 1,5 d$ Rozteč: $p_1 \geq 2,5 d$ $p_2 \geq 2,5 d$ Značky podle obrázku 3.1 VEN 1993-1-8
80		12) Špoj s jednou přiložkou s licovanými neprepátrými šrouby nebo neprepátrými injektovanými šrouby.	12) $\Delta\sigma$ se vypočte pro oslabený průřez.
50		13) Špoj s jednou přiložkou s licovanými neprepátrými šrouby nebo souměrný spoj se dvěma přiložkami s neprepátrými šrouby v dírách s normální výškou. Sřídkavé zatížení není přípustné.	13) $\Delta\sigma$ se vypočte pro oslabený průřez.
50		14) Špoj u týce s výloženým nebo řezaným závitem namáhané lanem. Pro velké průměry (kotvení šrouby) se vliv velikosti určí pomocí součinitele $k_s$ . Jednosřídkavé nebo dvojsřídkavé šrouby ve snyku 15) Závit mimo rovinu střihu – Obvyčejné šrouby bez stridaveleho zatížení (šrouby firmy 5.6, 8.8 nebo 10.9).	14) $\Delta\sigma$ se vypočte pro účinnou plochu šroubu v tahu. Ohyb a tah v důsledku pacení a jinak využívané ohybové napětí je nutné uvažovat. Pro předobjedat šrouby se má určitý redukce rozkmitu napětí. 15) $\Delta\sigma$ se vypočte pro plochu díru šroubu.
100			5) Různé koutové nebo tupé svary. 6) Různí nebo automobilové jednostranné automobilové rámec svary, zvláště u truhlákových nosníků. 7) Opravované koutové nebo různí koutové nebo tupé svary v detailech 1) až 6).
100 $m = 5$			8) Přerušované podélné koutové svary. 9) Podélný tupý svar, koutový svar nebo přemíškový svar s výrezem o výšce do 60 mm. Pro výrez o výšce > 60 mm viz detail 1) v tabulce 8.4.
71			10) Podevní tupý svar obostranné do roviny založený, rovnoběžný se směrem namáhaní, 100 % NDT bez míst přerušení svárování.
125			10) Svar s místy přerušení svárování.

Tabulka 8.2 – Složené průřezy s podélnými svary

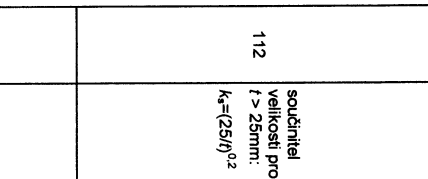
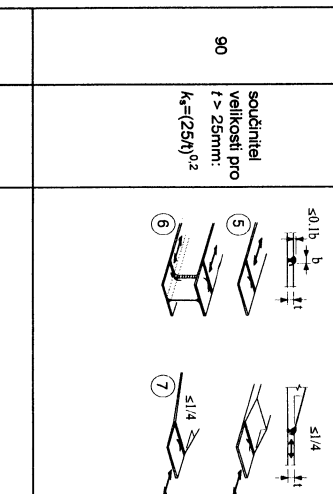
Kategorie detailu	Konstrukční detail	Popis	Požadavky
		Nepřerušované podélné svary: 1) Automatové oboustranné tupé svary. 2) Automatové koutové svary. Konce koutových desek se kontroly jako detail 6) nebo 7) v tabulce 8.5.	Detaily 1)a 2): Nějsou povolená žádná přerušení svárování s výjimkou oprav provedených specialistou, u kterých kontrola potvrď správnost provedení opravy.
112		3) Automatové oboustranné koutové nebo tupé svary s místy přerušení svárování.	4) Jestliže tento detail obsahuje místa přerušení svárování, použije se kategorie detailu 100.
100		5) Různé koutové nebo tupé svary. 6) Různí nebo automobilové jednostranné automobilové rámec svary, zvláště u truhlákových nosníků. 7) Opravované koutové nebo různí koutové nebo tupé svary v detailech 1) až 6).	5), 6) Je důležité velmi dobré sličování pánského a plechu stojiny. Úprava hrany stojiny musí umožnit dobrý souvisí při Korenění oblasti.
71		8) Přerušované podélné koutové svary. 9) Podélný tupý svar, koutový svar nebo přemíškový svar s výrezem o výšce do 60 mm. Pro výrez o výšce > 60 mm viz detail 1) v tabulce 8.4.	8) $\Delta\sigma$ se vypočte pro normálové napětí v pasnici. 9) $\Delta\sigma$ se vypočte pro normálové napětí v pasnici.
125		10) Podevní tupý svar obostranné do roviny založený, rovnoběžný se směrem namáhaní, 100 % NDT bez míst přerušení svárování.	9) $\Delta\sigma$ se vypočte pro normálové napětí v pasnici.
112		10) Svar s místy přerušení svárování.	

(pokračování)

Tabuľka 8.2 (dokončenie)

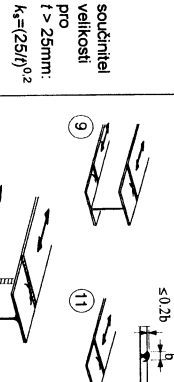
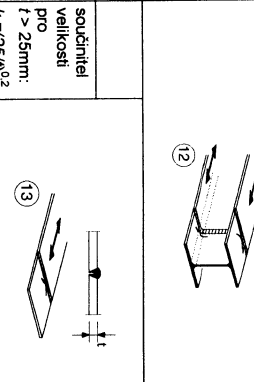
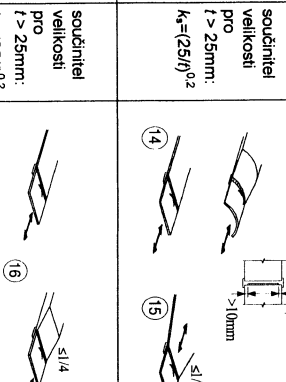
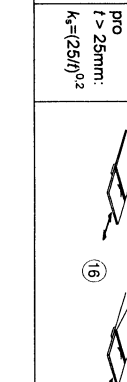
Kategória detailu	Konštrukčný detail	Popis	Požadavky
140		11) Automatový podélný švový svar dĺžkou prúžazú bez miest prenášení svárovania.	11) Defekt max. v rozsahu toleranci podle EN 1090. Tloušťka steny: $t \leq 12,5 \text{ mm}$ .
125		11) Automatový podélný švový svar dĺžkou prúžazú bez miest prenášení svárovania. 11) Svar s miestami prenášenia svárovania.	11) Tloušťka steny: $t > 12,5 \text{ mm}$ .
90			Pro detaily 1 až 11 vyrobene plne mechanizovanym svarovaniem se pouziji kategorie detailu pro automatové svarovani.

Tabuľka 8.3 – Příčné tupé svary

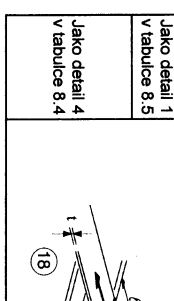
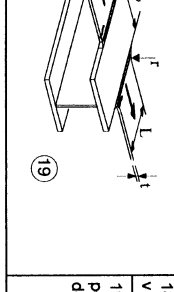
Kategória detailu	Konštrukčný detail	Popis	Požadavky
112		1) Příčné snyky plechů a pásu. 2) Snyky pásu a stojin nosníku, svařených z plechu před sestavením nosníku. 3) Tupé svary ve styku celého řezu vácováného průřezu bez výrezů ve svařech. 4) Příčné snyky plechů a pásu, proměnné šírky nebo tloušťky se sklonem $\leq 1/4$ .	Bez podložky: Všechny snyky plechů a pásu. Všechny snyky plechů zabroušt do rovniny plechu rovnoběžné se směrem šírky. Je potřebné použít odborně odstranit plošky pro začátek svařování, aby se obroušly a výřeby svaru, hrany a tloušťky v směru namáhání. Svařovat z obou stran, kontrola NDT. Detail 3: Použít pouze pro svařování rezaceňích a opět svařených vácováných průřezů.
90		5) Příčné snyky plechů nebo pásu. 6) Tupé svary ve styku celého řezu vácováného průřezu bez výrezů ve svařech. 7) Příčné snyky plechů a pásu, proměnné šírky nebo tloušťky se sklonem $\leq 1/4$ . Přechod svaru bezvýrubě opracovat. Detail 5 a 7: Svařovat v poloze shora.	Převážně svaru není větší než 10% šírky svaru při hladkém povrchu svaru do rovinou základního materiálu. Je potřebné použít odborně odstranit plošky pro začátek svařování, aby se obroušly plechu se obroušly ve směru namáhání. Svařovat z obou stran, kontrola NDT.

(pokračovanie)

Tabulka 8.3 (pokračování)

Kategorie detailu	Konstrukční detail	Popis	Požadavky
80	součinitel velikosti pro t > 25mm: $k_s = (25/t)^{0.2}$	 <p>(9) Příčné styky nosníků svařovaných z plechů bez výřezů ve svarech.            (10) Tupé styky ve stiku celého řezu valcovaného průřezu s výřezem ve svarech.            (11) Příčné styky plachet, pásek, valcovaných průřezů nebo nosníku svařených z plechů.</p>	Převýšení stáru není větší než 20 % šířky svaru při hladém přechodu stáru do roviny zakládajícího materiálu. Nezbrusušné svary. Je potřebné použít a odborně odstranit desku pro začátek a výběh svaru, hrany plechu se obrouti ve směru namáhání. Svařovat z obou stran, kontrola NDT. <b>Detail 10:</b> Převýšení svaru není větší než 20 % šířky svaru při hladkém přechodu svaru do roviny zakládajícího materiálu.
83	součinitel velikosti pro t > 25mm: $k_s = (25/t)^{0.2}$	 <p>(12) Tupé svary ve stiku celého řezu valcovaného průřezu bez výřezu ve svarech.</p>	(12) Tupé svary ve stiku celého řezu valcovaného průřezu bez výřezu ve svarech. (13) Jednostranné tupé svary. (13) Jednostranné tupé svary, jestliže plny prutu $t \leq t_1$ a výběh svaru, hrany plechu se obrouti ve směru namáhání. Svařovat z obou stran.
36	součinitel velikosti pro t > 25mm: $k_s = (25/t)^{0.2}$	 <p>(13) Jednostranné tupé svary.            (13) Jednostranné tupé svary, jestliže plny prutu <math>t \leq t_1</math> a výběh svaru, hrany plechu se obrouti ve směru namáhání. Svařovat z obou stran.</p>	(13) Jednostranné tupé svary. (13) Jednostranné tupé svary, jestliže plny prutu $t \leq t_1$ a výběh svaru, hrany plechu se obrouti ve směru namáhání. Svařovat z obou stran.
71	součinitel velikosti pro t > 25mm: $k_s = (25/t)^{0.2}$	 <p>(14) Příčný svar, upínající podložku se ukončí ve vzdálenosti <math>\geq 10</math> mm od hran namáhaného plechu.            Pratiště pro zakřivené plechy.</p>	(14) Příčný svar, upínající podložku se ukončí ve vzdálenosti $\geq 10$ mm od hran namáhaného plechu. Pratiště pro zakřivené plechy. (15) Příčný svar na trvalé podložce u prvků proměnné šířky nebo tloušťky se sklonem $\leq \frac{1}{4}$ .
71	součinitel velikosti pro t > 25mm: $k_s = (25/t)^{0.2}$	 <p>(16) Příčný tupý svar na trvalé podložce u prvků proměnné šířky nebo tloušťky se sklonem <math>\leq \frac{1}{4}</math>. Pratiště pro zakřivené plechy.</p>	(16) Příčný tupý svar na trvalé podložce u prvků proměnné šířky nebo tloušťky se sklonem $\leq \frac{1}{4}$ . Pratiště pro zakřivené plechy. (16) Jestliže se koutové svary podložky ukončí ve vzdálenosti $< 10$ mm od hrany plechu nebo když není možné zaručit dobré sestavení spoje.

Tabulka 8.3 (dokončení)

Kategorie detailu	Konstrukční detail	Popis	Požadavky
71	součinitel velikosti pro t > 25mm: $k_s = \left(\frac{25}{t}\right)^{0.2} / \left(1 + \frac{6e}{t_1^{1.5}} + \frac{t_1^{1.5}}{t_2^{1.5}}\right)$	 <p>(17) Příčný tupý svar, různé tloušťky bez přesazení, těžistní osy shodné.</p>	(17) Příčný tupý svar, různé tloušťky bez přesazení, těžistní osy shodné. <b>Detaily 18) a 19)</b> (18) Příčný tupý svar v místě křížení pásnic (19) S přechodovým poloměrem podle detailu 4 tabulky 8.4.
	Jako detail 4 v tabulce 8.4		Jako detail 4 v tabulce 8.4 <b>Detaily 18) a 19)</b> (18) Příčný tupý svar v místě křížení pásnic (19) S přechodovým poloměrem podle detailu 4 tabulky 8.4. Úhlová pevnost spojilých dílů se posuzuje podle detailu 4 tabulky 8.4 nebo 5 tabulky 8.4.

Tabulka 8.4 – Přívárené průkry a výztuhy

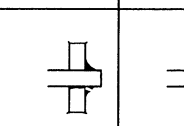
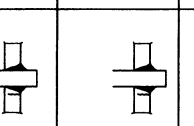
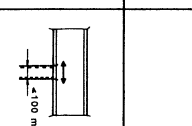
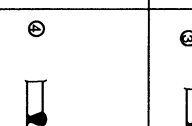
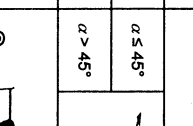
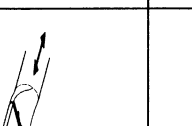
Kategorie detailu	Konstrukční detail	Popis	Požadavky
80	$L \leq 50\text{mm}$		
71	$50 < L \leq 80\text{mm}$		Podélné připojené průkry: 1) Kategorie detailu se mění podle délky připojení $L$ .
63	$80 < L \leq 100\text{mm}$		
56	$L > 100\text{mm}$		
71	$L > 100\text{mm}$ $\alpha < 45^\circ$		2) Podélné připojené průkry k plechu nebo trubce.
80	$r > 150\text{mm}$		3) Podélne styčníkový plech přivárený koutovým svařem. V přechodu k plechu, nebo trubce o poloměru $r$ , konec koutového svaru je zesílen (plný průvar), potom se svařova plocha obrusu šípky, tak aby upatí přívárený hraně nebo nosníku.
90	$\frac{r}{L} \geq \frac{1}{3}$ nebo $r > 150\text{mm}$		4) Styčníkový plech, přivárený k hraně nebo trubce nebo k nosníku.
71	$\frac{1}{6} \leq \frac{r}{L} \leq \frac{1}{3}$		
50	$\frac{r}{L} < \frac{1}{6}$ nebo $L: \text{délka připoje jako v detailu 1,2}$		
40			5) Svařeno bez zabitěného přechodu.
80	$t \leq 50\text{mm}$		Příčné připojené průkry. 6) Průkry přivárené k plechu. 7) Svírák výztuhy přivárené k valcovánímu nebo svalovánímu nosníku.
71	$50 < t \leq 80\text{mm}$		8) Diafragma komorových nosníků přivárené k pásem nebo ke stojině. Neže použít pro malé délky. 9) Účinek přivárených spráhovacích trnů na základní materiál.
80			

Tabulka 8.5 – Nosné svařové spoje

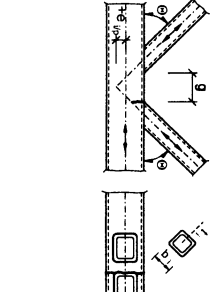
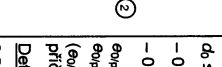
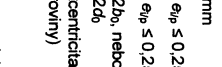
Kategorie detailu	Konstrukční detail	Popis	Požadavky
80	$t < 50\text{ mm}$	všechny tloušťky $t$ (mm)	Křížová a T spoje: 1) Vady v přechodu svařu do základního materiálu u plně provárených tuplic svař a všechny částečně provárených spojů.
71	$50 < t \leq 60$		1) Kontrolované svař bez defektů a přesazeni větších než tolerance podle EN 1090 2) $\Delta\sigma$ se vypočte s použitím jmenovitých napětí pro modifikovaných jmenovitých napětí
63	$80 < t \leq 100$		3) U částečně provárených svařů se požaduje dvojí posouzení na úrovni: – Na poněření v svařu pro napěti definovaná v kapitole 5 za použití kategorie 5 pro $\Delta\sigma$ a kategorie 80 pro $\Delta_{tw}$ . – na poněření v přechodu svařu do základního materiálu pro rozkmit napěti $\Delta\sigma$ v nosném plechu.
56	$100 < t \leq 120$		Detaily 1 až 3: 3) Vady v kořeném T spoje s částečně prováreným tupým svařem nebo svařem s koutovým svařem a lodiňským průvar v upřem T spoji.
56	$t > 120$	$t \leq 20$	Přeplátované svařové spoje: 4) Přeplátovaný spoj s koutovými svařy.
56	$120 < t \leq 200$	$t > 20$	5) Přeplátování: 5) Přeplátovaný spoj s koutovými svařy.
45	$t \leq 300$	$t > 30$	4) $\Delta\sigma$ v hlavním plechu se vypočte pro plátu nosného přízezu podle opřásku. 5) $\Delta\sigma$ se vypočte v přeplátovaném plechu.
40	$t > 300$	$30 < t \leq 50$	Detaily 4) a 5): Svařy jsou ukončeny více než 10 mm od hrany plechu. Poněření svařu smyknem se posuzuje podle detailu 8).
		$45^\circ$	(pokračování)

### Tabuľka 8.5 (dokončenie)

**Tabulka 8.6 – Duté průřezy ( $t \leq 12,5$  mm)**

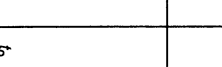
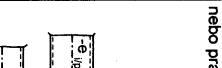
Kategorie detailu	Konstruktivní detail	Popis	Požadavky
71		1) Spoj trubky s plechem, trubky zpošťované, tupý svar (X-drážkovany).	
71		2) Spoj trubky s plechem zaváreným do zářezu v trubce.	1) $\Delta\alpha$ se vypočte pro trubku. Pouze pro tubky o průměru menším než 200 mm.
71 63		3) Tupý starový spoj po celém obvodu kruhových dutých přířezů. 4) Tupý starový spoj po celém obvodu pravoúhlých dutých přířezů.	2) $\Delta\alpha$ se vypočte pro trubku. Pouze pro svar smyčkou se ověří podle detailu 8.
56			Detaily (3) a (4): Prevýšení svaru $\leq 10\%$ šířky svaru, hladký přechod do základního materiálu. Svary provedené v poloze shora, kontrolované a bez defektu větších než tolerance podle EN 1090. Detaily s tloušťkou stěny větší než 8 mm je možné zaraďt o 2 kategorie vyšše.
71		5) Kruhový nebo pravoúhlý dutý přířez, přvařený k jinému přířezu.	5) Nenamáhané svary. Síňka rovnoběžná se směrem napříč $t \leq 100$ mm. Pro další opady viz tabulku 8.4.
50		6) Kruhové duté přířezy svařené tupým svarom po celém obvodu s vloženým plechem.	Detaily 6) a 7): Nosné svary. Svary kontrolované a bez defektu větších než tolerance podle EN 1090.
45		7) Pravoválhé duté přířezy svařené tupým svarom po celém obvodu s vloženým plechem.	Detaily s tloušťkou stěny větší než 8 mm je možné zaraďt o 1 kategorii vyšše.
40		8) Kruhové duté přířezy svařené koutovým svarom po celém obvodu s vloženým plechem.	Detaily 8) a 9): Nosné svary. Tloušťka stěny $t \leq 8$ mm.
36		9) Pravoválhé duté přířezy svařené koutovým svarom po celém obvodu s vloženým plechem.	

Tabulka 8.7 – Styčníky příhradových nosníků

Kategorie detailu	Konstrukční detail	Požadavky
90 $m = 5$	$\frac{t_0}{t_1} \geq 2,0$ Systém s mezerou: Detail 1): Styčníky tvaru K a N, kruhové duté průřezy:  Detail 1)	Detaily 1) a 2): Pásy a příčky se posuzují samostatně. Pro meziňále hodnoty poměru $t_0/t_1$ se kategorie detailu určí lineární interpolaci. Příčky s tloušťkou stěny $t \leq 8$ mm je možné povařovat koutovými svary. Pravidla pro tloušťku stěny $t_0$ a $t_1 \leq 8$ mm $35^\circ \leq \theta \leq 50^\circ$ $b_0/d_0 \alpha \leq 25$ $d_0/t_0 \alpha t_1 \leq 25$ $0,4 \leq b_0/b_0 \leq 1,0$ $0,25 \leq d_0/d_0 \leq 1,0$ $b_0 \leq 200$ mm $d_0 \leq 300$ mm $-0,5h_0 \leq \theta_{ip} \leq 0,25h_0$ $-0,5d_0 \leq \theta_{ip} \leq 0,25d_0$ $\theta_{ip} \leq 0,02b_0$ , nebo $\theta_{ip} \leq 0,02d_0$ ( $\theta_{ip}$ je eccentricita příček z roviny) Detail 2): $0,5(b_0 - b) \leq g \leq 1,1(b_0 - b)$ $g \geq 2t_0$
45 $m = 5$	$\frac{t_0}{t_1} = 10$ Systém s mezerou: Detail 2): Styčníky tvaru K a N, pravoúhlé duté průřezy:  Detail 2)	Detaily 1) a 2): Pásy a příčky se posuzují samostatně. Pro meziňále hodnoty poměru $t_0/t_1$ se kategorie detailu určí lineární interpolaci. Příčky s tloušťkou stěny $t \leq 8$ mm je možné povařovat koutovými svary. Pravidla pro tloušťku stěny $t_0$ a $t_1 \leq 8$ mm $35^\circ \leq \theta \leq 50^\circ$ $b_0/d_0 \alpha t_1 \leq 25$ $d_0/t_0 \alpha t_1 \leq 25$ $0,4 \leq b_0/b_0 \leq 1,0$ $0,25 \leq d_0/d_0 \leq 1,0$ $b_0 \leq 200$ mm $d_0 \leq 300$ mm $-0,5h_0 \leq \theta_{ip} \leq 0,25h_0$ $-0,5d_0 \leq \theta_{ip} \leq 0,25d_0$ $\theta_{ip} \leq 0,02b_0$ , nebo $\theta_{ip} \leq 0,02d_0$ ( $\theta_{ip}$ je eccentricita příček z roviny) Detail 2): $0,5(b_0 - b) \leq g \leq 1,1(b_0 - b)$ $g \geq 2t_0$
71 $m = 5$	$\frac{t_0}{t_1} \geq 14$ Systém s překrytím: Detail 3): Styčníky tvaru K, kruhové nebo pravoúhlé duté průřezy:  Detail 3)	Detaily 3) a 4): právouhlé duté průřezy: 30% $p \leq$ překrytí $\leq 100\%$ , $p$ překrytí $= (q/p) \times 100\%$ Je potřebné samostatně posoudit pásy a příčky. Pro meziňále hodnoty poměru $t_0/t_1$ se kategorie detailu určí lineární interpolaci. Příčky s tloušťkou stěny $t \leq 8$ mm je možné povařovat koutovými svary. Pravidla pro tloušťku stěny $t_0$ a $t_1 \leq 8$ mm $35^\circ \leq \theta \leq 50^\circ$ $b_0/d_0 \alpha t_1 \leq 25$ $d_0/t_0 \alpha t_1 \leq 25$ $0,4 \leq b_0/b_0 \leq 1,0$ $0,25 \leq d_0/d_0 \leq 1,0$ $b_0 \leq 200$ mm $d_0 \leq 300$ mm $-0,5h_0 \leq \theta_{ip} \leq 0,25h_0$ $-0,5d_0 \leq \theta_{ip} \leq 0,25d_0$ $\theta_{ip} \leq 0,02b_0$ , nebo $\theta_{ip} \leq 0,02d_0$ ( $\theta_{ip}$ je eccentricita příček z roviny) Definice $p$ a $q$ :
56 $m = 5$	$\frac{t_0}{t_1} = 10$ Systém s překrytím: Detail 4): Styčníky tvaru N, kruhové nebo pravoúhlé duté průřezy:  Detail 4)	Detaily 3) a 4): právouhlé duté průřezy: 30% $p \leq$ překrytí $\leq 100\%$ , $p$ překrytí $= (q/p) \times 100\%$ Je potřebné samostatně posoudit pásy a příčky. Pro meziňále hodnoty poměru $t_0/t_1$ se kategorie detailu určí lineární interpolaci. Příčky s tloušťkou stěny $t \leq 8$ mm je možné povařovat koutovými svary. Pravidla pro tloušťku stěny $t_0$ a $t_1 \leq 8$ mm $35^\circ \leq \theta \leq 50^\circ$ $b_0/d_0 \alpha t_1 \leq 25$ $d_0/t_0 \alpha t_1 \leq 25$ $0,4 \leq b_0/b_0 \leq 1,0$ $0,25 \leq d_0/d_0 \leq 1,0$ $b_0 \leq 200$ mm $d_0 \leq 300$ mm $-0,5h_0 \leq \theta_{ip} \leq 0,25h_0$ $-0,5d_0 \leq \theta_{ip} \leq 0,25d_0$ $\theta_{ip} \leq 0,02b_0$ , nebo $\theta_{ip} \leq 0,02d_0$ ( $\theta_{ip}$ je eccentricita příček z roviny) Definice $p$ a $q$ :

(pokračování)

Tabulka 8.7 (dokončení)

Kategorie detailu	Konstrukční detail	Požadavky
71 $m = 5$	$\frac{t_0}{t_1} \geq 14$ Systém s překrytím: Detail 3): Styčníky tvaru K, kruhové nebo pravoúhlé duté průřezy:  Detail 3)	Detaily 3) a 4): právouhlé duté průřezy: 30% $p \leq$ překrytí $\leq 100\%$ , $p$ překrytí $= (q/p) \times 100\%$ Je potřebné samostatně posoudit pásy a příčky. Pro meziňále hodnoty poměru $t_0/t_1$ se kategorie detailu určí lineární interpolaci. Příčky s tloušťkou stěny $t \leq 8$ mm je možné povařovat koutovými svary. Pravidla pro tloušťku stěny $t_0$ a $t_1 \leq 8$ mm $35^\circ \leq \theta \leq 50^\circ$ $b_0/d_0 \alpha t_1 \leq 25$ $d_0/t_0 \alpha t_1 \leq 25$ $0,4 \leq b_0/b_0 \leq 1,0$ $0,25 \leq d_0/d_0 \leq 1,0$ $b_0 \leq 200$ mm $d_0 \leq 300$ mm $-0,5h_0 \leq \theta_{ip} \leq 0,25h_0$ $-0,5d_0 \leq \theta_{ip} \leq 0,25d_0$ $\theta_{ip} \leq 0,02b_0$ , nebo $\theta_{ip} \leq 0,02d_0$ ( $\theta_{ip}$ je eccentricita příček z roviny) Definice $p$ a $q$ :
50 $m = 5$	$\frac{t_0}{t_1} = 10$ Systém s překrytím: Detail 4): Styčníky tvaru N, kruhové nebo pravoúhlé duté průřezy:  Detail 4)	Detaily 3) a 4): právouhlé duté průřezy: 30% $p \leq$ překrytí $\leq 100\%$ , $p$ překrytí $= (q/p) \times 100\%$ Je potřebné samostatně posoudit pásy a příčky. Pro meziňále hodnoty poměru $t_0/t_1$ se kategorie detailu určí lineární interpolaci. Příčky s tloušťkou stěny $t \leq 8$ mm je možné povařovat koutovými svary. Pravidla pro tloušťku stěny $t_0$ a $t_1 \leq 8$ mm $35^\circ \leq \theta \leq 50^\circ$ $b_0/d_0 \alpha t_1 \leq 25$ $d_0/t_0 \alpha t_1 \leq 25$ $0,4 \leq b_0/b_0 \leq 1,0$ $0,25 \leq d_0/d_0 \leq 1,0$ $b_0 \leq 200$ mm $d_0 \leq 300$ mm $-0,5h_0 \leq \theta_{ip} \leq 0,25h_0$ $-0,5d_0 \leq \theta_{ip} \leq 0,25d_0$ $\theta_{ip} \leq 0,02b_0$ , nebo $\theta_{ip} \leq 0,02d_0$ ( $\theta_{ip}$ je eccentricita příček z roviny) Definice $p$ a $q$ :

Tabulka 8.8 – Orthotropní desky s uzavřenými výztuhami

Kategorie detailu	Konstrukční detail	Popis	Požadavky
80		1) Průběžná podélná výztuha s dodatečným výrezem v příčniku.	1) Rozkmit normálových napětí $\Delta\sigma$ se vypočte pro podélnou výztuhu. 2) Rozkmit normálových napětí $\Delta\sigma$ dodatečného výrezu v příčniku.
71		2) Průběžná podélná výztuha s dodatečným výrezem v příčniku.	2) Rozkmit normálových napětí $\Delta\sigma$ se vypočte pro výztuhu.
80		2) Průběžná podélná výztuha s dodatečným výrezem v příčniku.	2) Rozkmit normálových napětí $\Delta\sigma$ se vypočte pro výztuhu.
71		3) Odřízlé podélné výztuhy z obou stran v příčniku.	3) Rozkmit normálových napětí $\Delta\sigma$ se vypočte pro výztuhu.
36		4) Pině provárený tulejí svar podélné výztuhy na ocelové podložce.	4) Rozkmit normálových napětí $\Delta\sigma$ se vypočte pro výztuhu.
71		5) Pině provárený tupý obousměrný svar podélné výztuhy bez podložky.	5) Rozkmit normálových napětí $\Delta\sigma$ se vypočte pro výztuhu. Stehové svary uvnitř obrysů tulpového svaru.
112		6) Kritický průřez stojiny příčniku v dlešku výřezu.	6) Rozkmit napětí v kritickém průřezu se posoudí jako na prolamovaném nosníku.
90		7) POZNÁMKA: Pokud se rozkmit napětí vypočte podle EN 1993-2, 9.4.2(3), je možné použít kategorii detailu 112.	7) POZNÁMKA: Pokud se rozkmit napětí vypočte podle EN 1993-2, 9.4.2(3), je možné použít kategorii detailu 112.

(pokračování)

Tabulka 8.8 (dokončení)

Kategorie detailu	Konstrukční detail	Popis	Požadavky
71		$\Delta\sigma = \frac{\Delta M_w}{W_w}$	7) Rozkmit mostovkové desky a trapezové výztuhy nebo výztuhy v klenuté V mostovkové desky.
50		$\Delta\sigma = \frac{\Delta M_w}{W_w}$	7) Svar s částečným průvarem při $a < t$ .

Tabulka 8.9 – Orthotropní desky s otevřenými výztuhami

Kategorie detailu	Konstrukční detail	Popis	Požadavky
80		1) Spoj průběžné podélné výztuhy s příčníkem.	1) Rozkmit normálových napětí $\Delta\sigma$ se vypočte pro výztuhu.
71		2) Spoj průběžné podélné výztuhy s příčníkem.	2) Pro posouzení se použije ekvivalentní rozkmit napětí ve stojině příčníku, který se vypočte pro kombinaci rozkmitu smykového napětí $\Delta\tau$ a rozkmitu normálového napětí $\Delta\sigma$ .
56		$\Delta\tau = \frac{\Delta V_s}{A_{W,net,s}}$ $\Delta\sigma_{eq} = \frac{1}{2}(\Delta\sigma + \sqrt{\Delta\sigma^2 + 4\Delta\tau^2})$	2) Pro posouzení se použije ekvivalentní rozkmit napětí ve stojině příčníku, který se vypočte pro kombinaci rozkmitu smykového napětí $\Delta\tau$ a rozkmitu normálového napětí $\Delta\sigma$ .

Tabuľka 8.10 – Krční spoje pojazdžených nosníkov

Kategória detailu	Konštrukčný detail	Popis	Požadavky
160	①	1) Válcované I nebo H prúžky.	1) Rozkrň svislých tlakových napäť $\Delta\sigma_{vert.}$ ve stojine od tlaku kol.
71	②	2) Piné provádzaný krční tupý sváv.	2) Rozkrň svislých tlakových napäť $\Delta\sigma_{vert.}$ ve stojine od tlaku kol.
36*	③	3) Časťovo provádzaný krční tupý sváv nebo účinný piné provádzaný krční tupý sváv podle EN 1993-1-8.	3) Rozkrň svislých tlakových napäť $\Delta\sigma_{vert.}$ tlakový sváv od tlaku kol.
36*	④	4) Koutové sváv.	4) Rozkrň svislých tlakových napäť $\Delta\sigma_{vert.}$ v krčním svávom od tlaku kol.
71	⑤	5) Pas z T prúžku s piné provádzaným krčním tupým svávom.	5) Rozkrň svislých tlakových napäť $\Delta\sigma_{vert.}$ ve stojine od tlaku kol.
36*	⑥	6) Pas z T prúžku s časťovo provádzaným krčním tupým svávom, nebo účinný piné provádzaný krční tupý sváv podle EN 1993-1-8.	6) Rozkrň svislých tlakových napäť $\Delta\sigma_{vert.}$ v krčním svávom od tlaku kol.
36*	⑦	7) Pas z T prúžku s koutovými svávami.	7) Rozkrň svislých tlakových napäť $\Delta\sigma_{vert.}$ v krčním svávom od tlaku kol.

## Prihoda A (normatívni)

### Určení parametrov únavového zatíženia a ovŕsení únavové pevnosti

#### A.1 Určení zatěžovacích bloků

(1) Typická usporiadanie zatížení, ktorá predstavuje spoločne určenou hornú hranicu všetkých provozných zatěžovacích blokù, očakávaných v príbehu náhľové únavové životnosti, sa mají stanoviť podle dôvŕejších zkušenosť z podobných konštrukcií, viz obrázek A.1a).

#### A.2 Historie napäť v detaile konštrukcie

(1) Historie napäť sa má stanoviť ze zatěžovacích blokù pro detaily konštrukce s uvážením typu a tvaru príslušného priečinkové čáry a dynamických účinku, ktoré zvýšujú odezvu konštrukcie, viz obrázek A.1b).

(2) Historie napäť sa také môže stanoviť na základe mēření na podobných konštrukciach nebo podle výpočtu dynamického odezvy konštrukcie.

#### A.3 Tridiči metódy

(1) Historie napäť sa môže vyhodnotiť jednou z nasledujúcich tridičich metod:

- metódou stierajúcej dešte;
- pomocou ktorých sa určí:
  - rozkrnity napäť a počet cyklov ich výskytu;
  - sredný napäť cyklov, pokud je potrebné uvažovať jeho vliv.

#### A.4 Spektrum rozkrnítu napäť

- (1) Ve spektre rozkrnítu napäť mají byt rozkrnity a jím príslušné počty cyklov usporiadany v seskupeném poradí, viz obrázok A.1d).
- (2) Spektrum rozkrnítu napäť je možné modifikovať a zamedziť nejvyššiu rozkrnitu napäť, ktoré zpôsobujú menej než 1 % celkového poškozenia a rovnako rozkrnity napäť pod hodnotou prahového rozkrnitu.
- (3) Spektrá rozkrnítu napäť sa môžu normovať podľa jejich tvaru, napríklad sa součinom  $\frac{1}{\sqrt{n}}$ .

#### A.5 Cykly do použitia

(1) Při použití návrhového spektra se pôsobiaci rozkrnity napäť  $\Delta\sigma$  môžu vynásobiť součinom  $\gamma_F \cdot \Delta\sigma$ , a hodnoty únavové pevnosti  $\Delta\sigma_C$  vydelenou súčinom  $N_R$ . Tím se získají hodnoty  $N_R$  na časovanej mezi únavy pro každou časť spektra. Celkové poškození  $D_d$  během návrhové životnosti se môže vypočítať ze vzáhu:

$$D_d = \sum_i^N \frac{n_{EI}}{N_R} \quad (A.1)$$

kde  $n_{EI}$  je počet cyklov príslušného rozkrnitu napäť  $\gamma_F \cdot \Delta\sigma$ , v časti  $i$  posuzovaného spektra;  $N_R$  počet cyklov na mezi únavy, stanovený z príslušné kŕvky  $\frac{\Delta\sigma}{\gamma_M} - N_R$  pro rozkrniti napäť  $\gamma_F \cdot \Delta\sigma$ .

(2) Návrhové spektrum rozkrnítu napäť je možné transformovať na jiné ekvivalentní návrhové spektrum, ktoré vede ke stejnemu poškozeniu  $D_d$ . Môže to byt napríklad ekvivalentné návrhové spektrum rozkrnítu napäti o konštantnej amplitúde  $Q_{E,2}$  s počtom cyklov  $n_{max} = \sum n_i$ , alebo  $Q_{E,2}$  s počtom cyklov  $N_C = 2 \times 10^6$ .

#### A.6 Ovárení únavové pevnosti

- (1) Při posuzovaní na únavu, založeném na kumulaci poškození, sa mají ováriť nasledujúci kritéria:
  - kritérium kumulace poškození:  $D_d \leq 1,0$   $(A.2)$
  - kritérium ekvivalentného rozkrnitu napäti:  $\gamma_F \Delta\sigma_{E,2} \leq \sqrt{D_d} \frac{\Delta\sigma_C}{\gamma_M}$  kde  $m = 3$   $(A.3)$